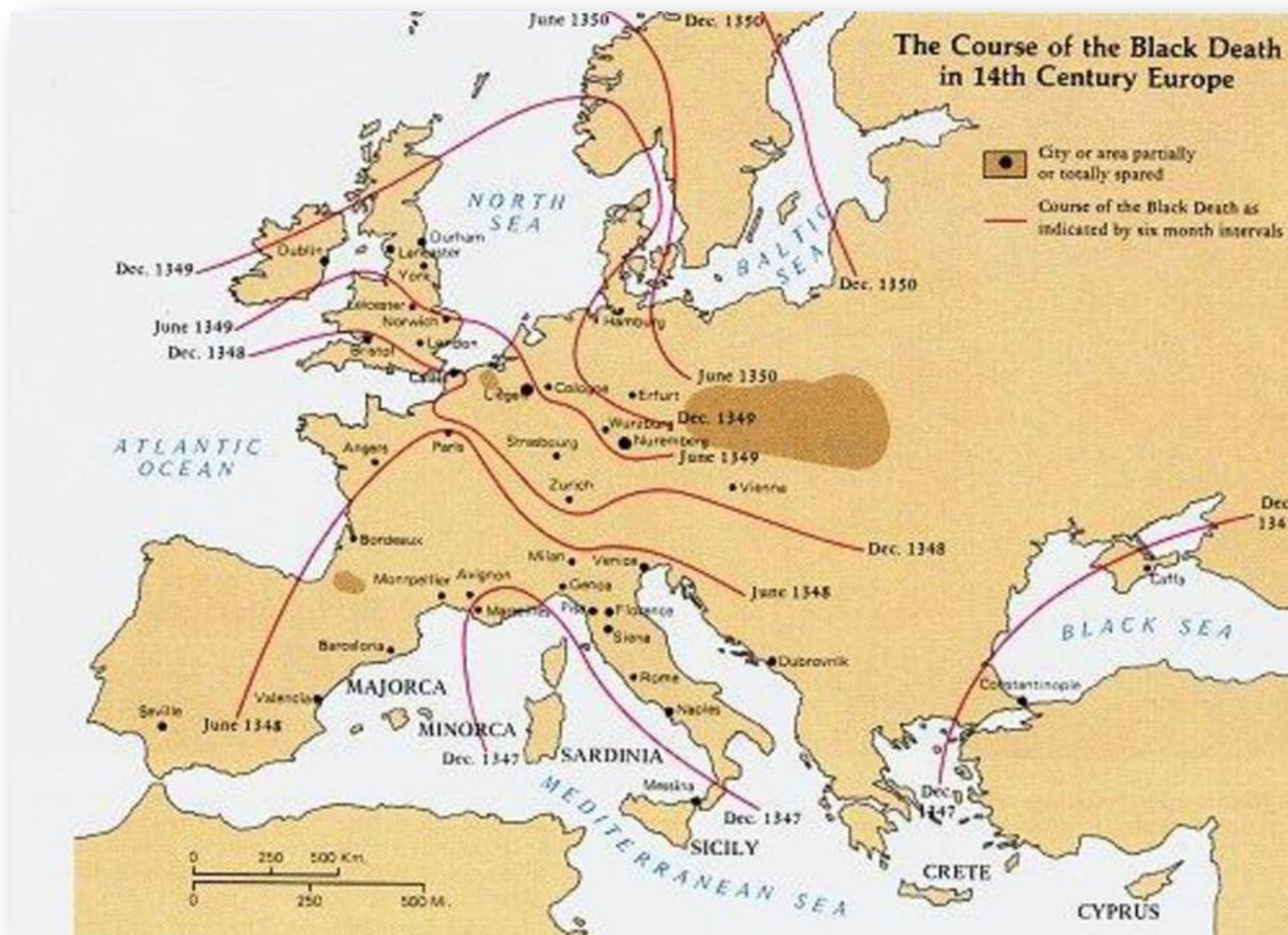


Modelowanie zjawisk kolektywnych

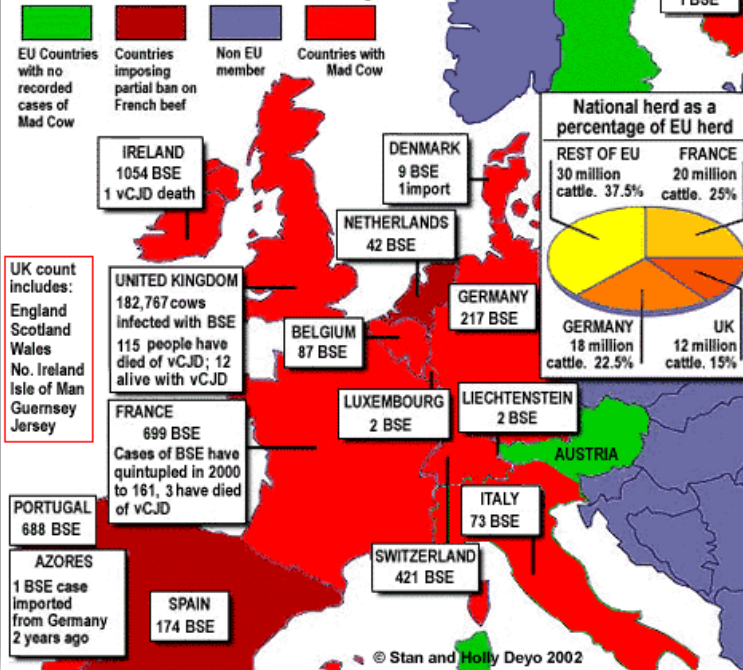
Rozprzestrzenianie się informacji
w sieciach złożonych

dr hab. Piotr Fronczak

Epidemiologia

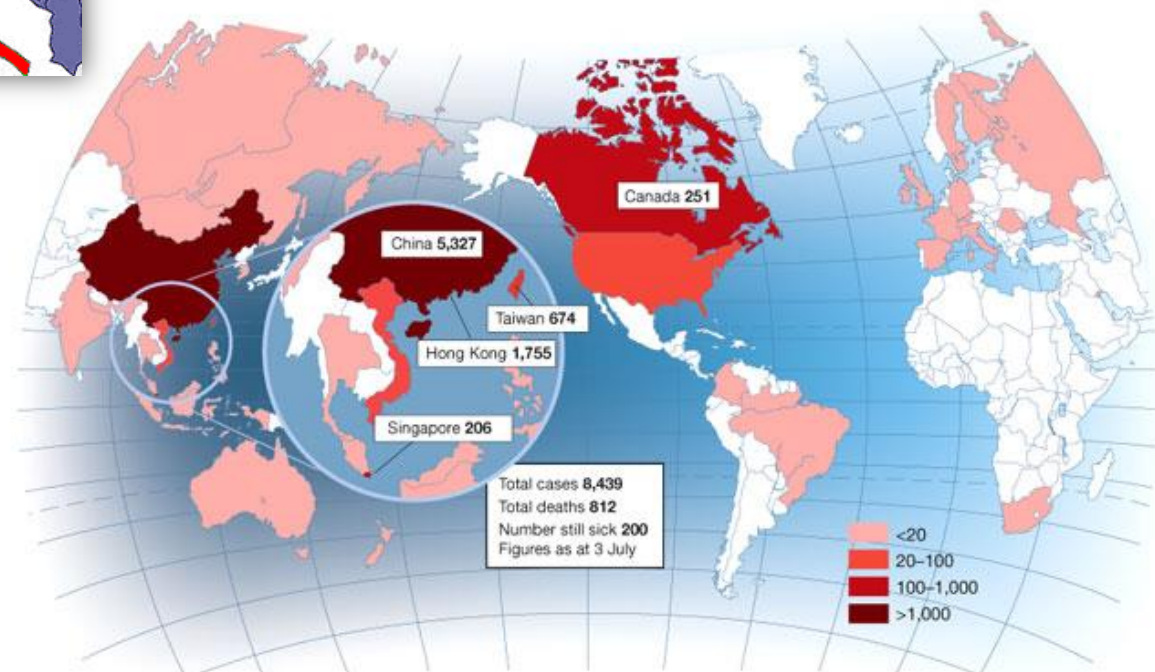


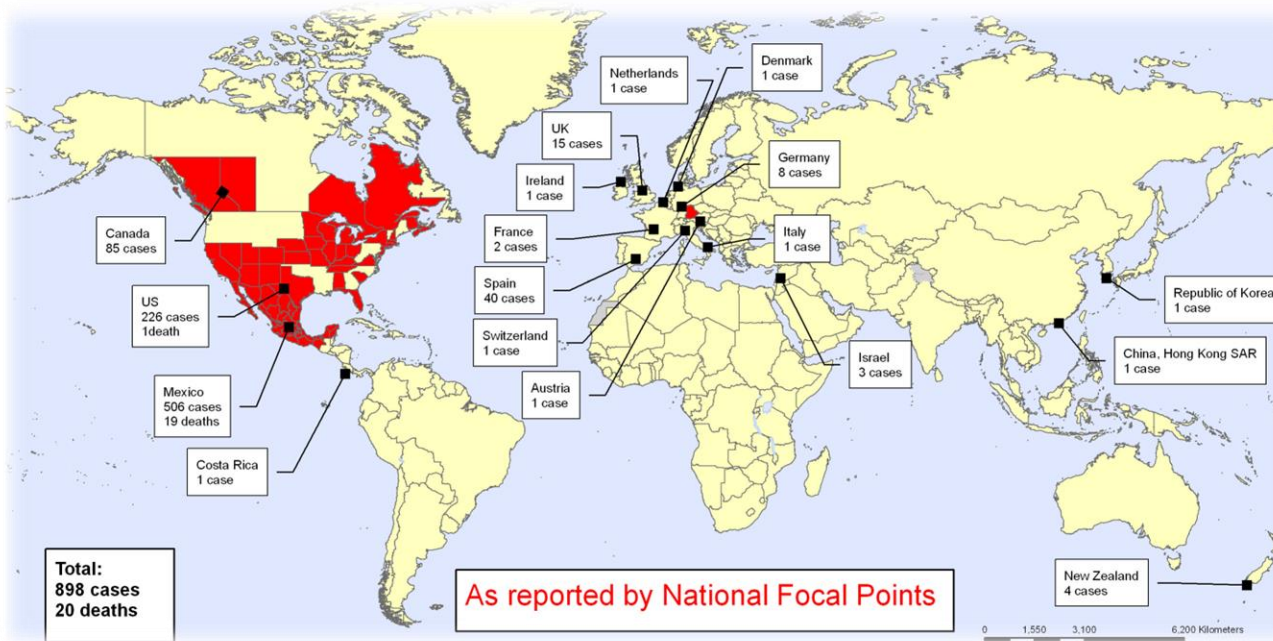
Mad Cow in Europe



BSE - gąbczasta encefalopatia bydła
(1987-2003)

SARS - zespół ciężkiej ostrej niewydolności oddechowej
(2002-2003)

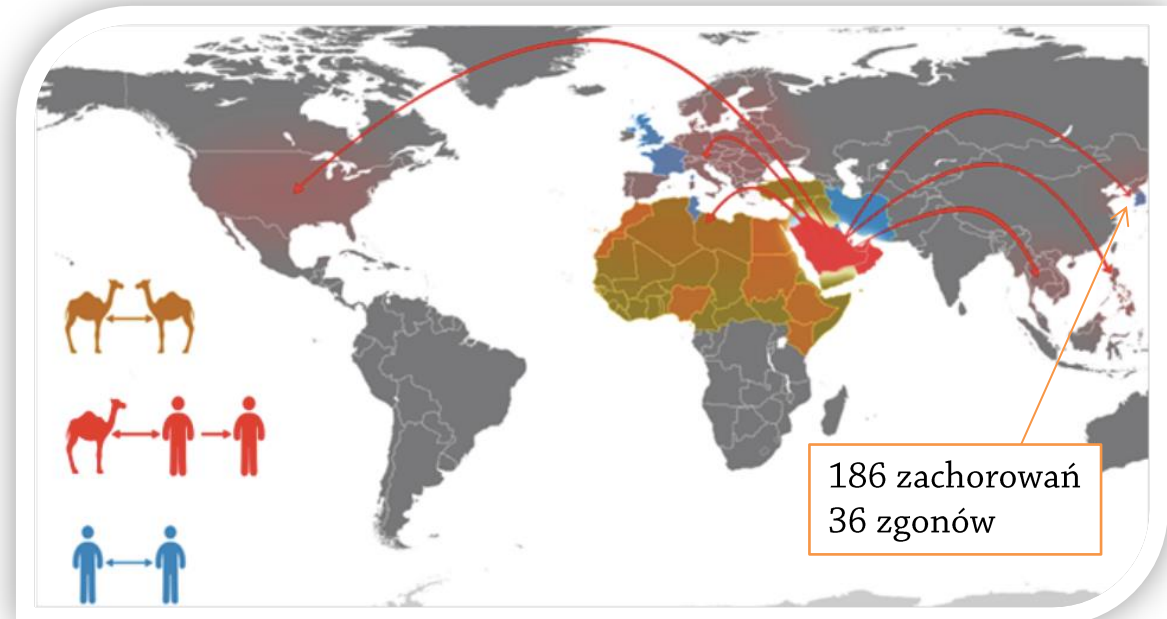


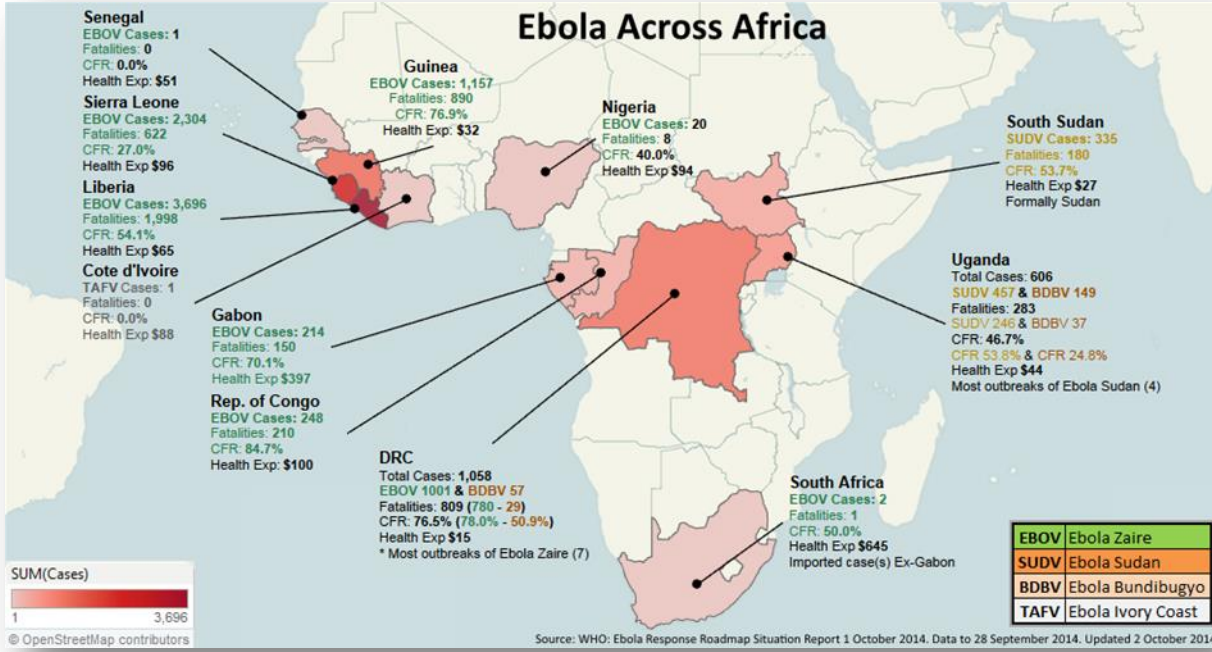


H1N1 – świńska grypa,
(2009)

hiszpanka, 500 mln
zakażonych i 50-100
mln zgonów w latach
1918-1919

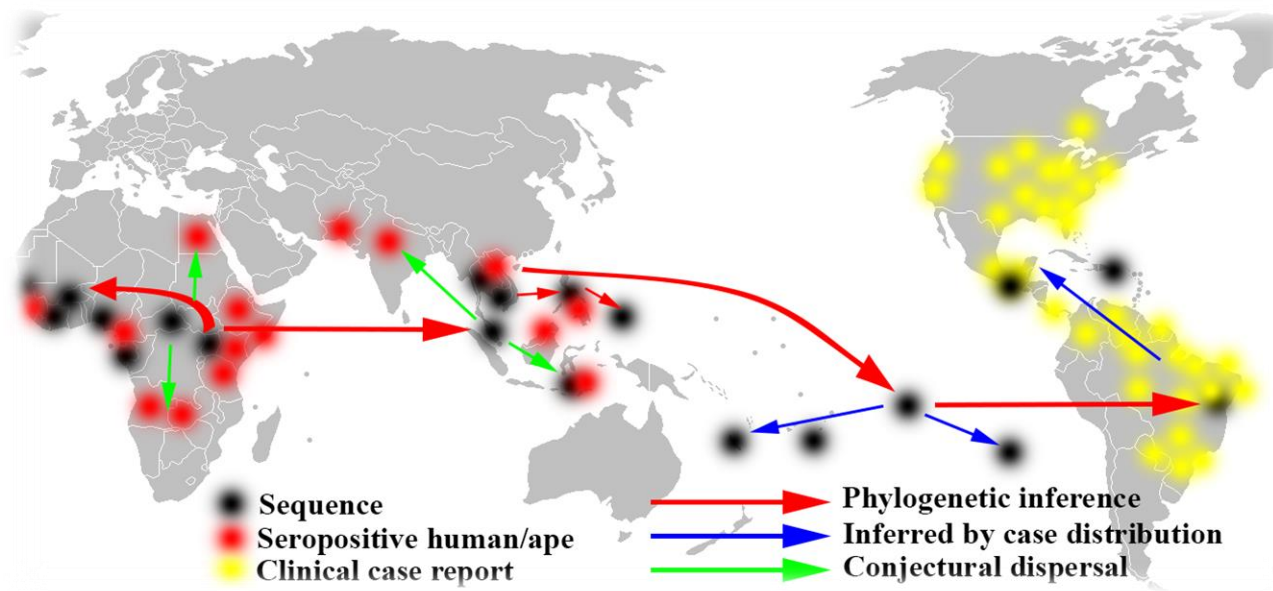
MERS - bliskowschodni zespół
niewydolności oddechowej
(2012)





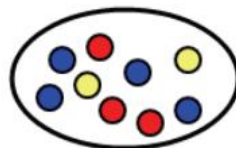
Ebola (2014-2015)
28 tys. zachorowań
11 tys. zgonów

ZIKA (2014-2017)
Puchar konfederacji, Taiti

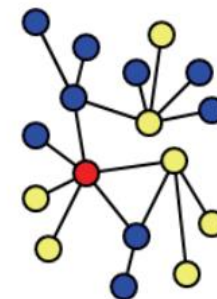
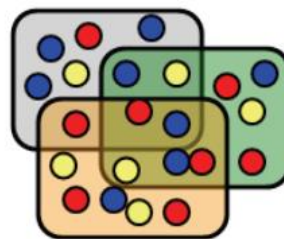


Typy dystrybucji

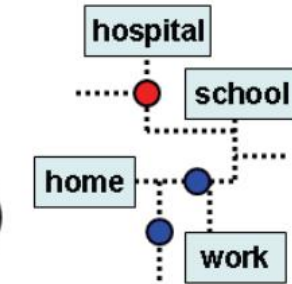
jednorodne



sieć kontaktów



agentowe



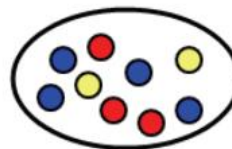
warstwy społeczne

meta populacje

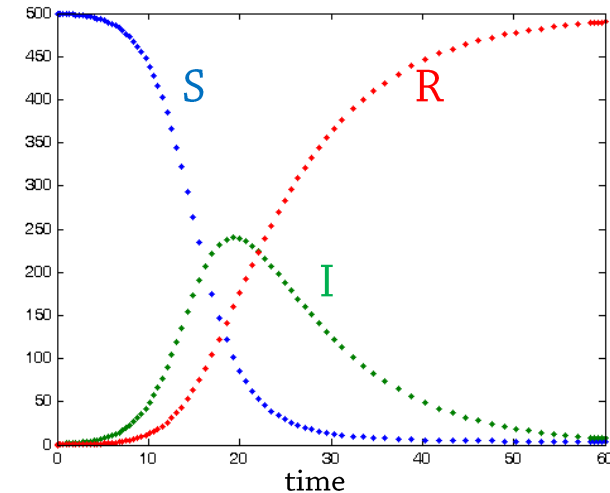
Typy modeli

- SIS: $S \xrightarrow{\lambda} I \xrightarrow{\mu} S$ (rzeżączka)
- SIR: $S \xrightarrow{\lambda} I \xrightarrow{\mu} R$ (odra, świnia, różyczka)
- SEIR: $S \xrightarrow{\lambda} E \xrightarrow{\beta} I \xrightarrow{\mu} R$ (ospa wietrzna, okres inkubacji 14 dni)
- SEIRS: $S \xrightarrow{\lambda} E \xrightarrow{\beta} I \xrightarrow{\mu} R \xrightarrow{\xi} S$ (rotawirusy, malaria)
- SI: $S \xrightarrow{\lambda} I$ (opryszczka, dowcipy)

Przykładowa dynamika modelu SIR w układzie jednorodnym



Susceptible – zdrowy podatny
Infected – zainfekowany
Recovered – ozdrowiał uodporniony
Removed – zmarły
Exposed – zainfekowany utajony



$$\begin{aligned}\frac{dS}{dt} &= -\lambda S \frac{I}{N} \\ \frac{dI}{dt} &= \lambda S \frac{I}{N} - \mu I \\ \frac{dR}{dt} &= \mu I\end{aligned}$$

ubytek w grupie zdrowych podatnych osobników jest proporcjonalny do ilości kontaktów osobników podatnych i zainfekowanych
przyrost osobników ozdrowiałych jest wprost proporcjonalny do ilości aktualnie chorych

Modelowanie przestrzenne

$$\frac{dS}{dt} = -\lambda S \frac{I}{N} + D_S \Delta S$$

$$\frac{dI}{dt} = \lambda S \frac{I}{N} - \mu I + D_I \Delta I$$

$$\frac{dR}{dt} = \mu I$$

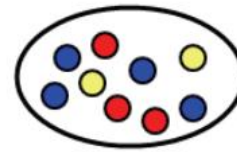
Równanie reakcji-dyfuzji

laplasjan

Parametry D_S i D_I - współczynniki dyfuzji opisujące tempo zmian przestrzennych odpowiednich populacji.

NetLogo

Wnioski ogólne z modeli jednorodnych

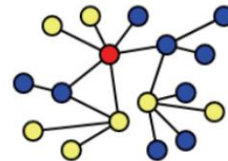


Epidemia rozwinię się na dużą skalę, gdy tempo rozprzestrzeniania się choroby

$$\kappa = \frac{\lambda}{\mu} > \kappa_c$$

By stłumić epidemię należy zmniejszyć λ lub zwiększyć μ (np. zwiększając wydatki na służbę zdrowia, profilaktykę zdrowotną, wspieranie badań naukowych, hospitalizację zarażonych).

Wnioski ogólne z modeli sieciowych



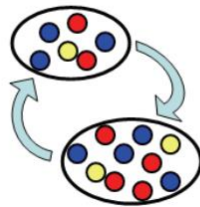
W sieciach o rozkładzie stopni wierzchołków $P(k)$, można pokazać (patrz wykład Modelowanie Sieci Złożonych), że krytyczne tempo rozprzestrzeniania się choroby

$$\kappa_c = \frac{\langle k \rangle}{\langle k^2 \rangle}.$$

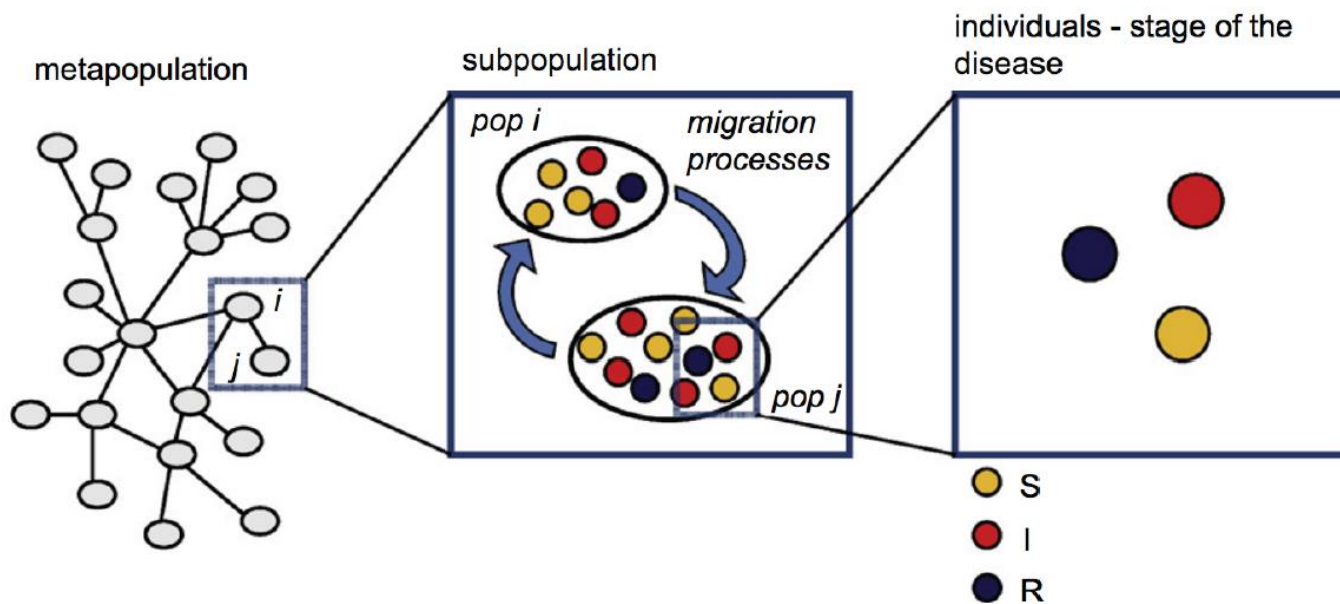
W rzeczywistych sieciach bezskalowych, gdzie $P(k) \sim k^{-\alpha}$, $\alpha \in [2,3]$:
 $\langle k^2 \rangle \rightarrow \infty$, zatem próg epidemii $\kappa_c \rightarrow 0$.

W sieciach bezskalowych epidemii nie można zatrzymać posługując się tradycyjnymi metodami, takimi jak masowe szczepienia!

Modelowanie metapopulacyjne



Model wieloskalowy – kompromis między modelami jednorodnymi a agentowymi



Vittoria Colizza, Alain Barrat, Marc Barthélemy and Alessandro Vespignani
Predictability and epidemic pathways in global outbreaks of infectious diseases: the SARS case study
BMC Medicine vol. 5, p.34 (2007)

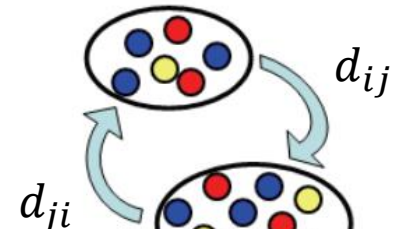
Dynamika wieloskalowego modelu SIR

$$\frac{dS_i}{dt} = -\lambda S_i \frac{I_i}{N_i} + \Omega^S_i$$

$$\frac{dI_i}{dt} = \lambda S_i \frac{I_i}{N} - \mu I_i + \Omega^I_i$$

$$\frac{dR_i}{dt} = \mu I_i$$

populacja i

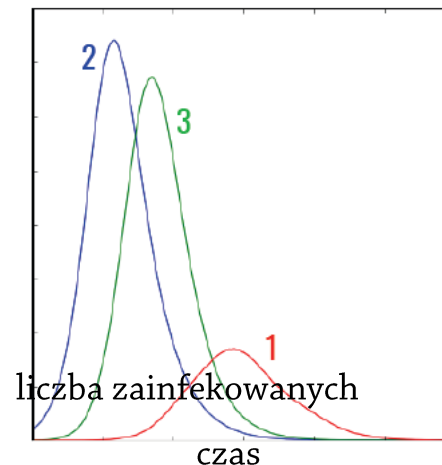
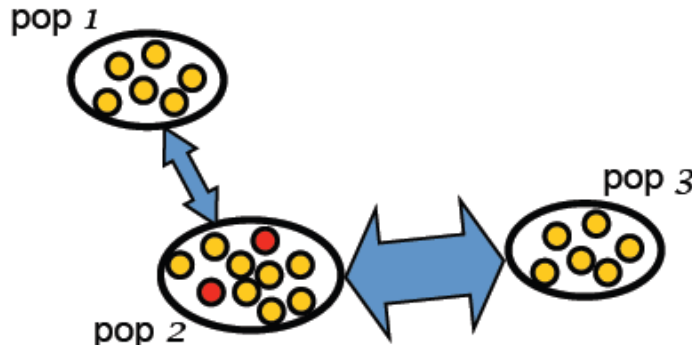


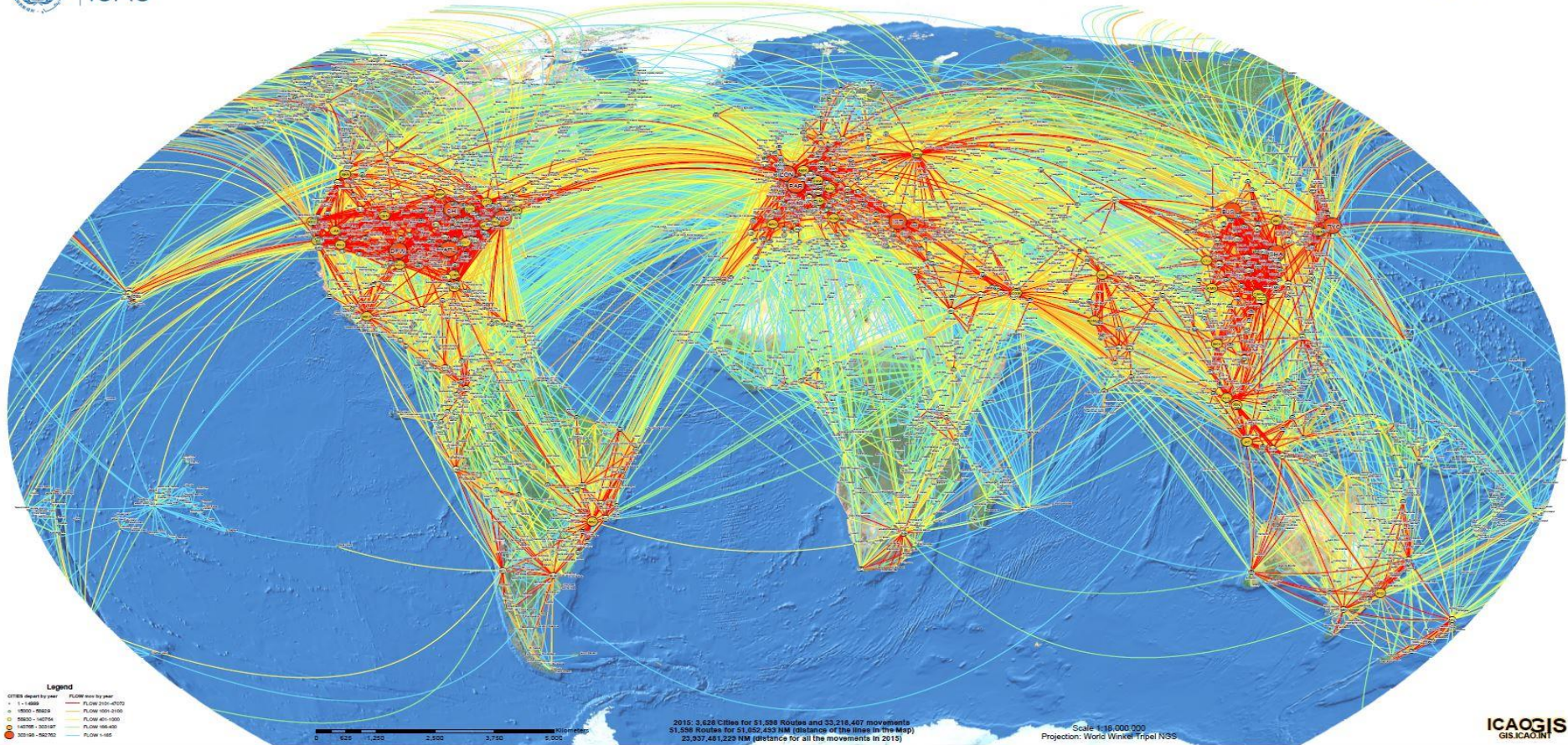
populacja j

gdzie składowa przepływu $\Omega^X_i = \sum_j (d_{ji}X_i - d_{ij}X_j)$, $X \equiv S \vee I$

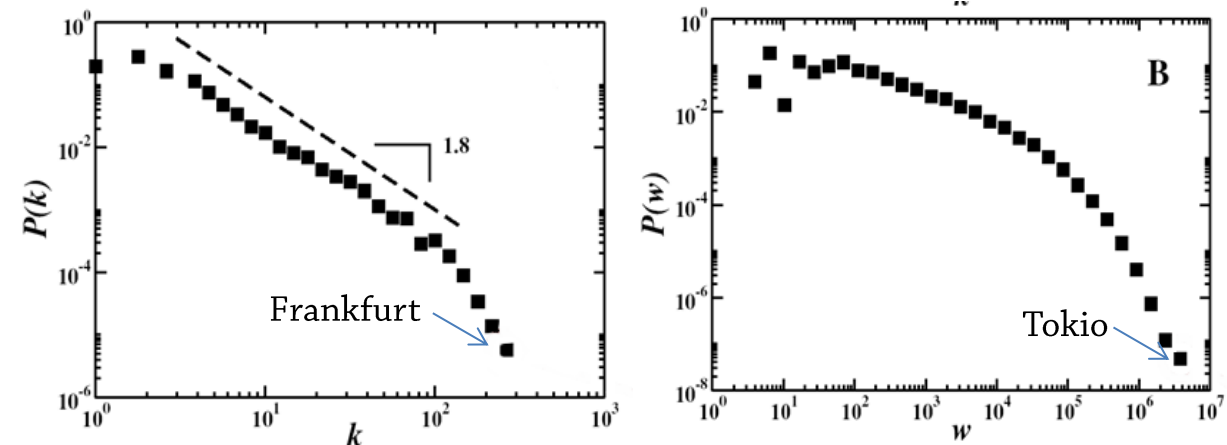
tempo przepływu $d_{ij} = \frac{\omega_{ij}}{N_i}$

Liczba osób ω_{ij} określona na podstawie danych na temat ruchu lotniczego





3100 lotnisk
18000 połączeń
99% ruchu pasażerskiego
 $\omega \in (4, 6 \cdot 10^6)$ - rocznie



Przypadek: SARS

Dane empiryczne:

$r_\beta = 20\%$ - na podstawie początkowej fazy epidemii w Hong Kongu

ε^{-1} - średni czas inkubacji

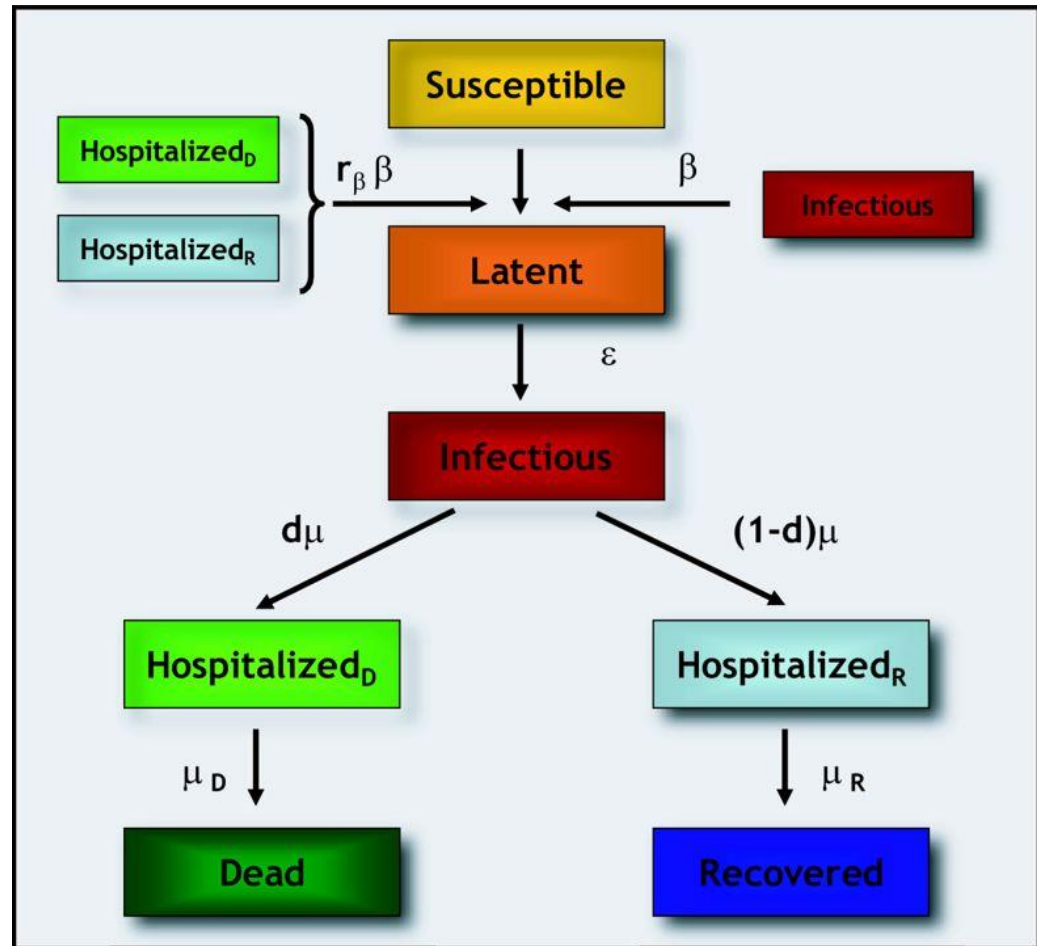
d - śmiertelność

μ^{-1} - średni czas od wystąpienia objawów klinicznych do przyjęcia do szpitala

$\mu_{D,R}^{-1}$ - średni czas hospitalizacji

Proces stochastyczny – podróżni wybierani losowo.

Hospitalizowani nie podróżują.



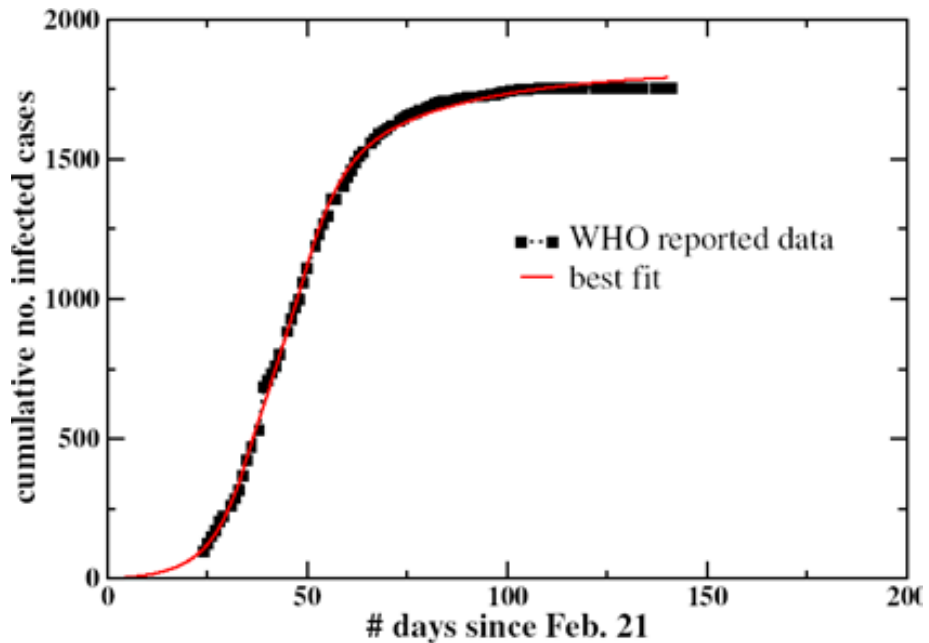
Przypadek: SARS

Dane ekstrapolowane z modelu na podstawie początkowej fazy epidemii w Hong Kongu :

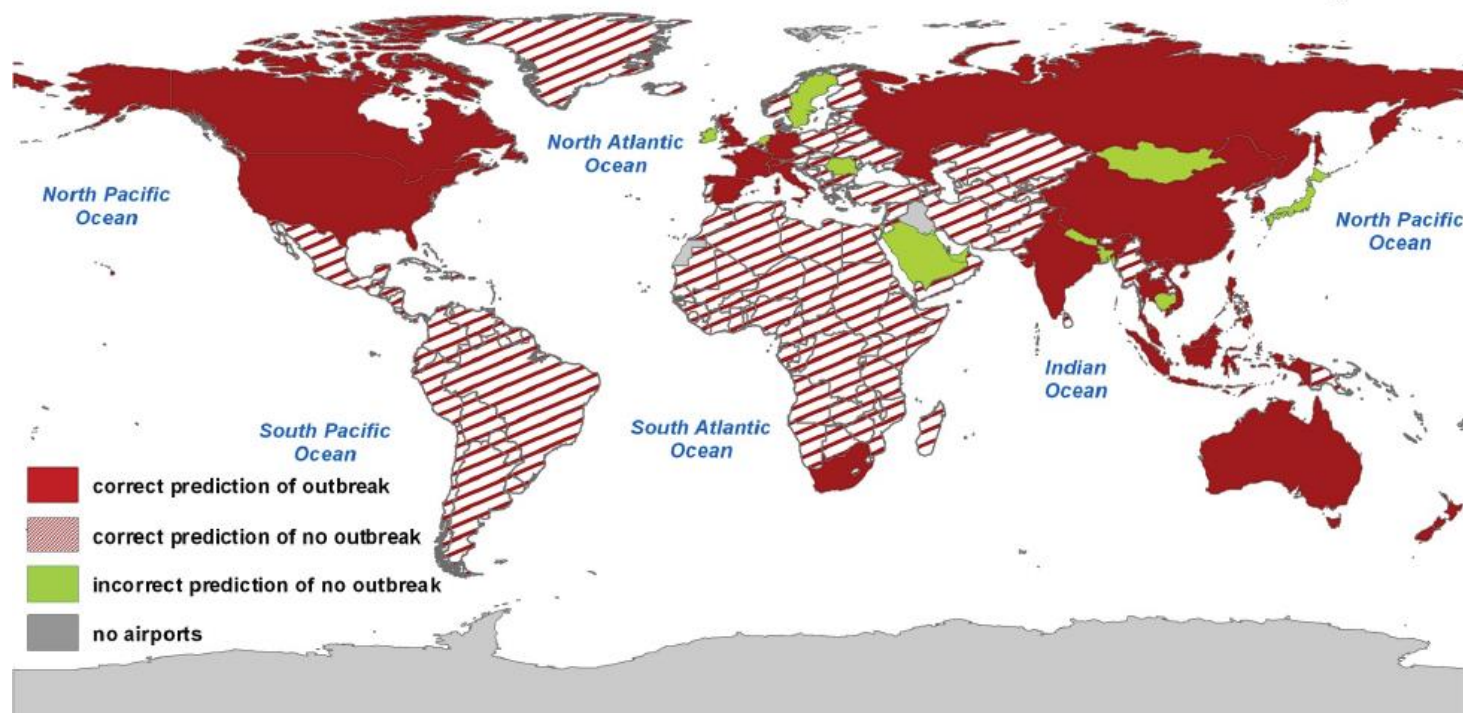
T_0 – czas od rozpoczęcia symulacji (tylko osobnicy w fazie utajonej) do zarejestrowania pierwszego przypadku

β - tempo transmisji

L_0 – liczba początkowych zarażonych osobników

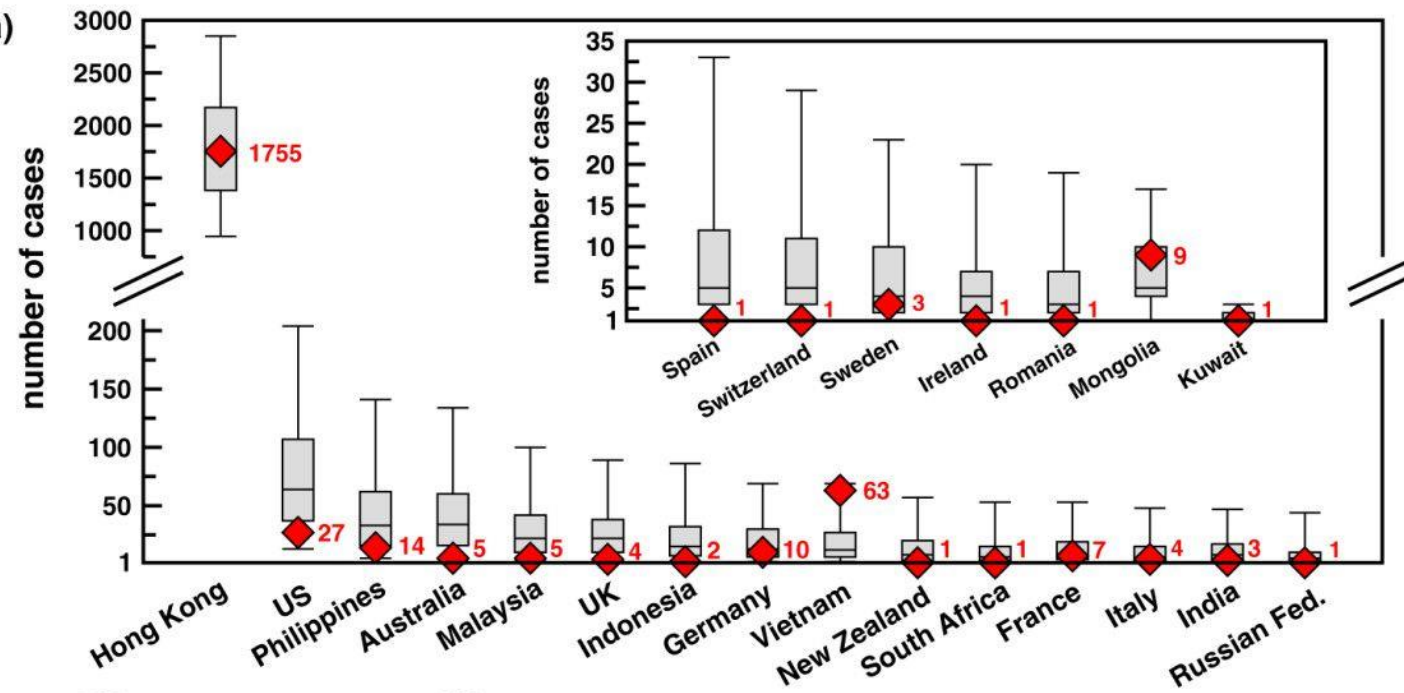


Comparison forecasts/empirical data July 11, 2003

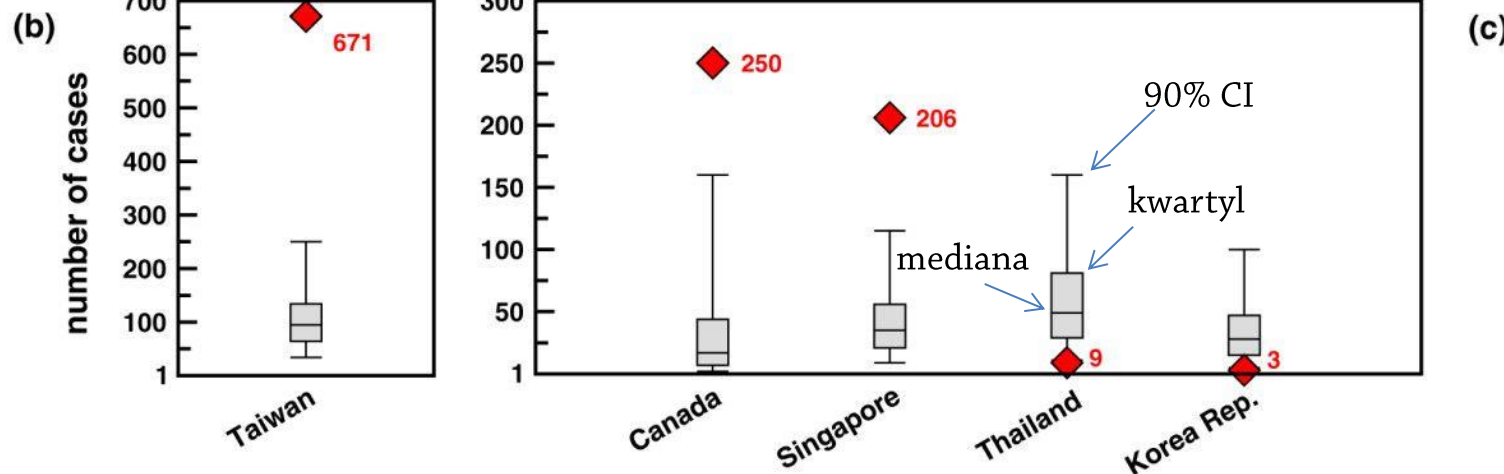


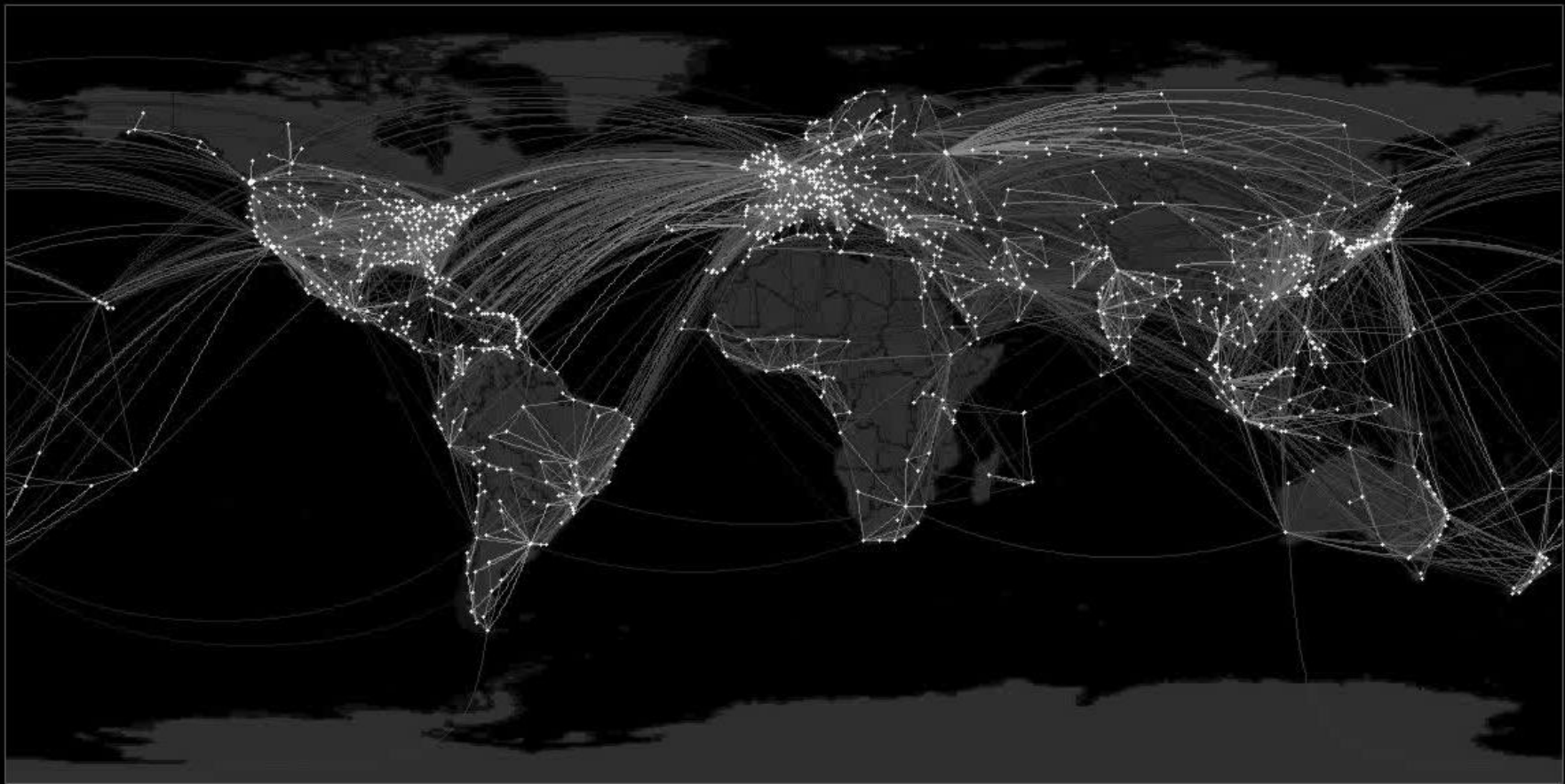
Symulacje prawidłowo opisały zagrożenie wybuchem epidemii w 205 z 220 państw.
Zagrożenie – min. 20% symulacji kończy się wybuchem epidemii w danym kraju.
W 23 krajach przewidziano wybuch epidemii (28 rzeczywistych przypadków).
W 10 krajach przewidziano wybuch epidemii (mimo jej braku wg WHO)

Przypadki zgod

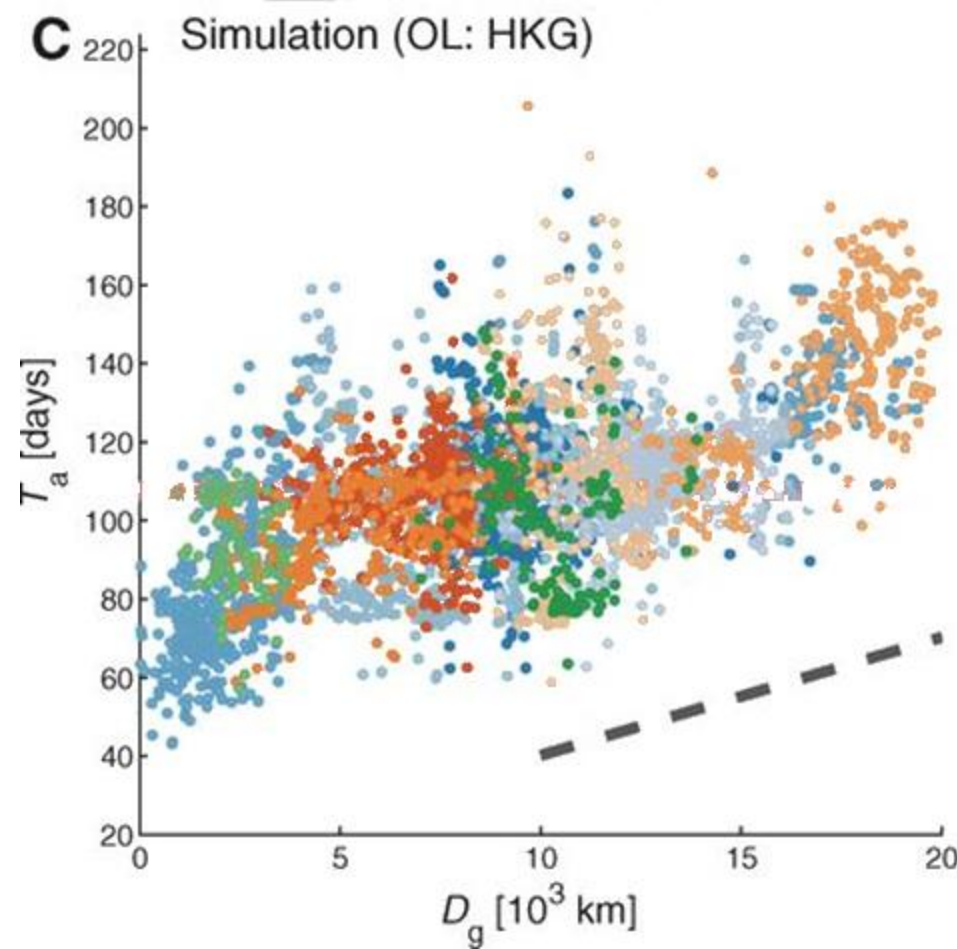


Przypadki niezg



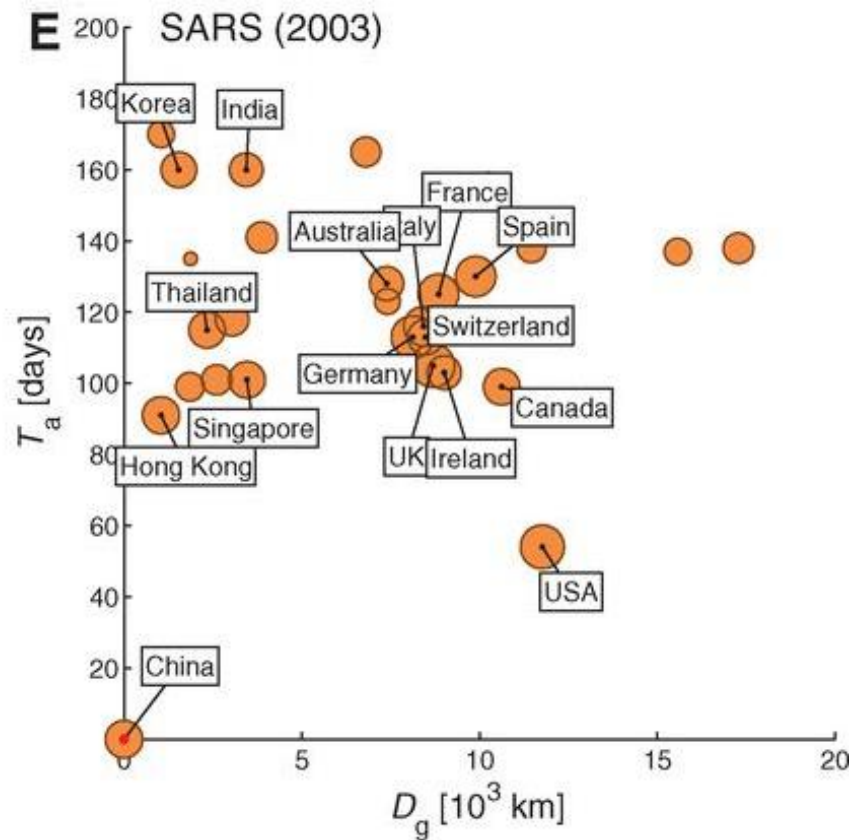
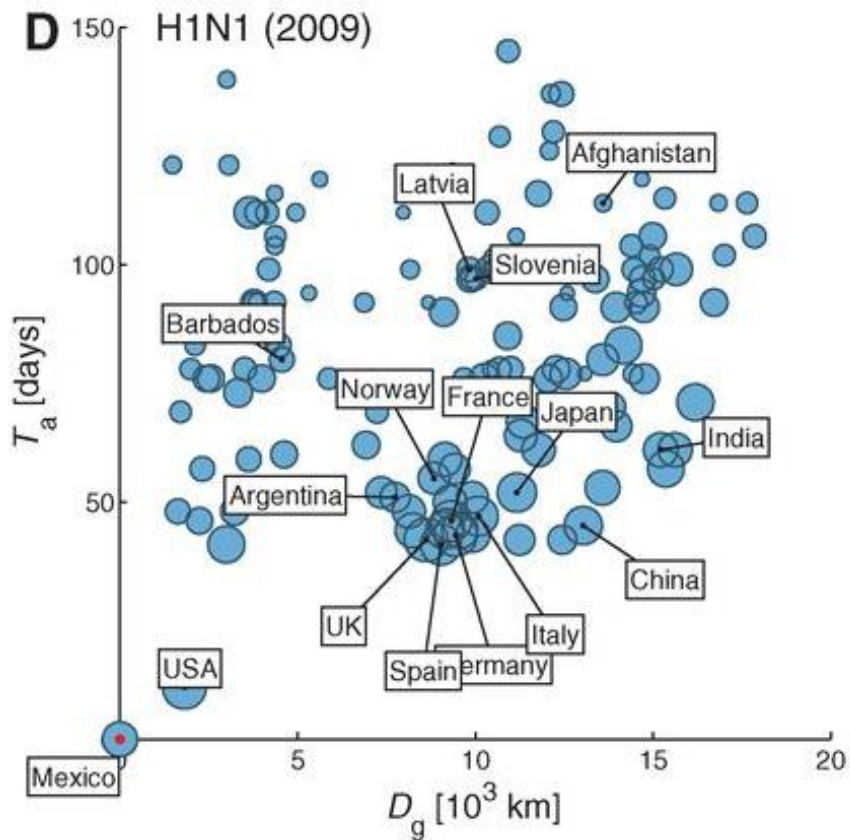


Dirk Brockmann, Dirk Helbing
The Hidden Geometry of Complex, Network-Driven Contagion Phenomena
Science vol. 342:1337-1342 (2013)



Dirk Brockmann, Dirk Helbing

The Hidden Geometry of Complex, Network-Driven Contagion Phenomena
Science vol. 342:1337-1342 (2013)



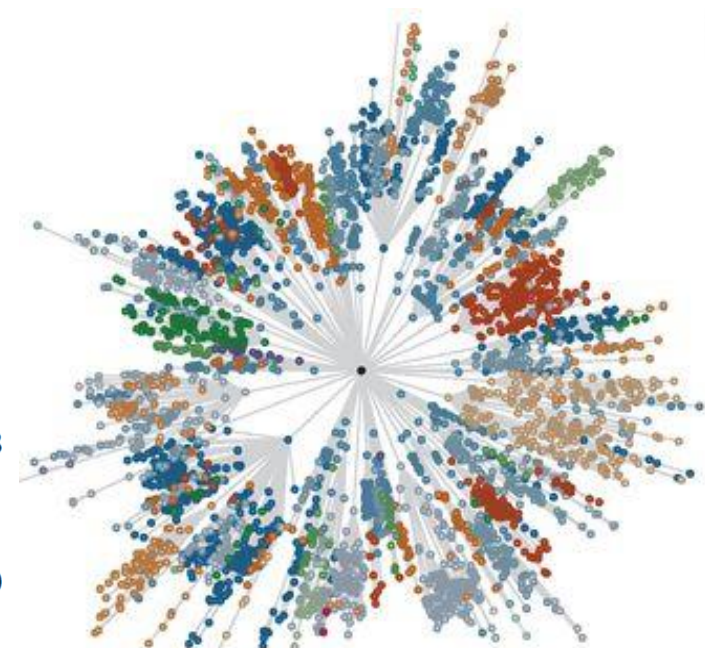
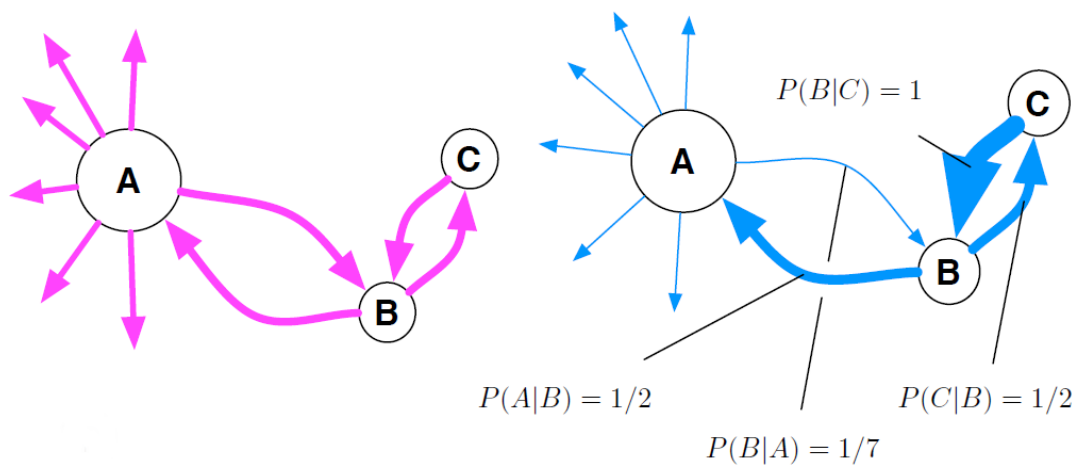
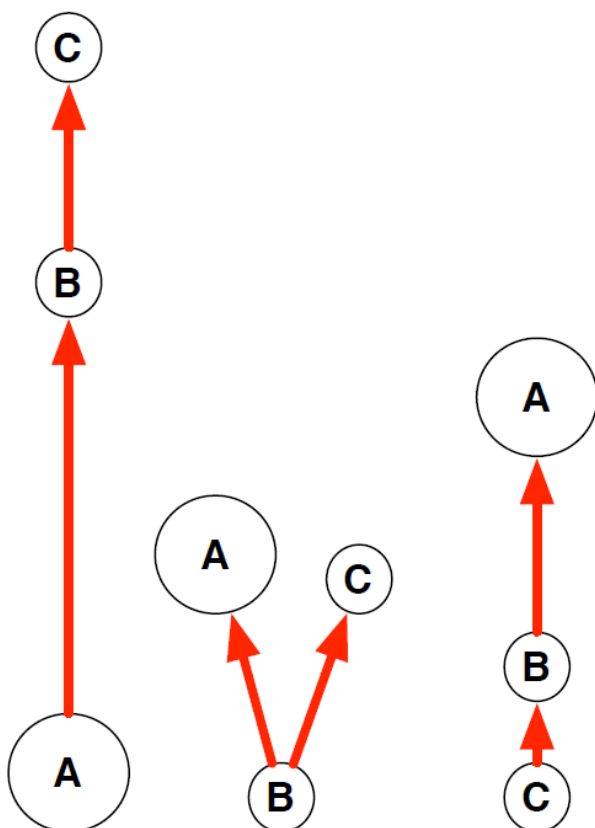
Dirk Brockmann, Dirk Helbing

The Hidden Geometry of Complex, Network-Driven Contagion Phenomena
Science vol. 342:1337-1342 (2013)

Przeskalowana odległość

$$d_{mn} = (1 - \ln P_{mn}) \geq 1$$

P_{mn} – ułamek całkowitej liczby pasażerów na świecie lecący z m do n



$D(B A)$	=	2.94
$D(C A)$	=	$D(C B) + D(B A) = 5.63$
$D(A B)$	=	1.69
$D(C B)$	=	1.69
$D(A C)$	=	$D(A B) + D(B C) = 2.69$
$D(B C)$	=	1

Dirk Brockmann, Dirk Helbing

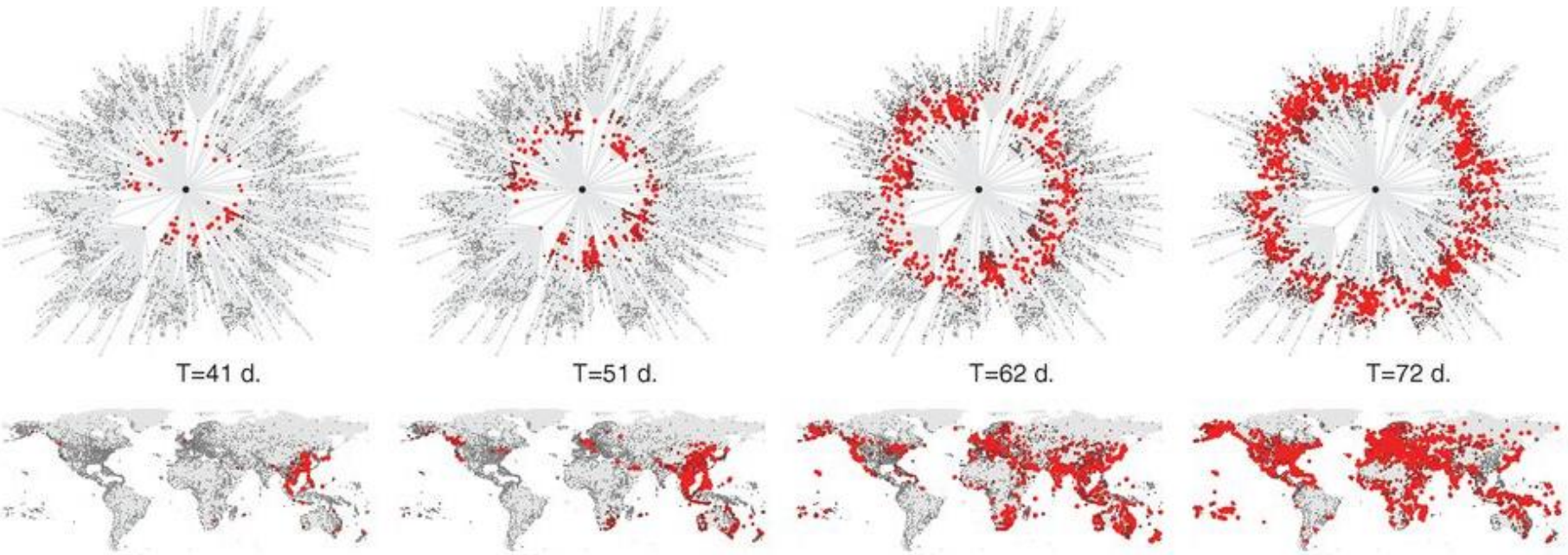
The Hidden Geometry of Complex, Network-Driven Contagion Phenomena
Science vol. 342:1337-1342 (2013)



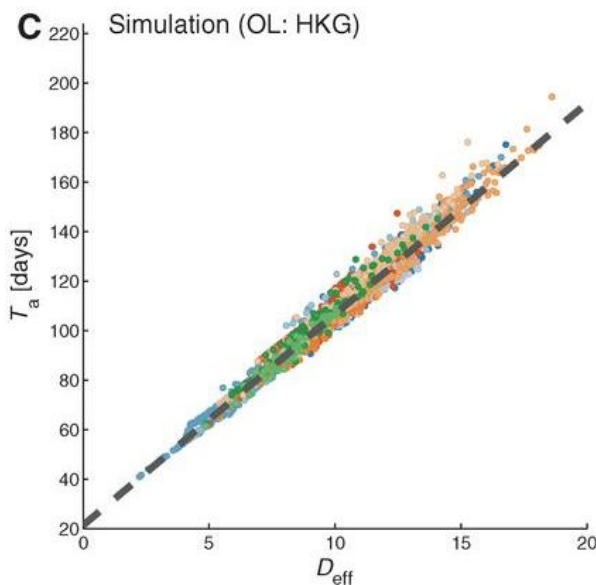
Dirk Brockmann, Dirk Helbing
The Hidden Geometry of Complex, Network-Driven Contagion Phenomena
Science vol. 342:1337-1342 (2013)



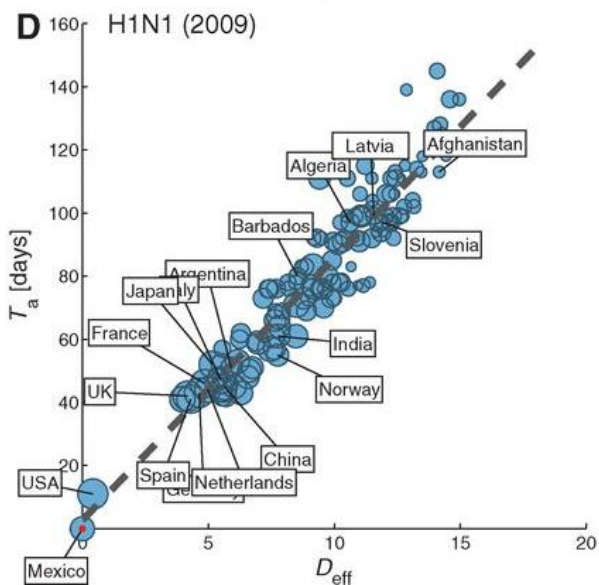
Dirk Brockmann, Dirk Helbing
The Hidden Geometry of Complex, Network-Driven Contagion Phenomena
Science vol. 342:1337-1342 (2013)



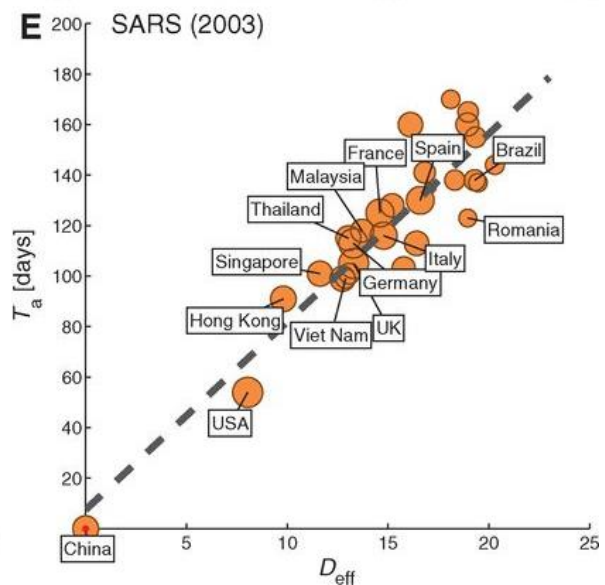
C Simulation (OL: HKG)



D H1N1 (2009)



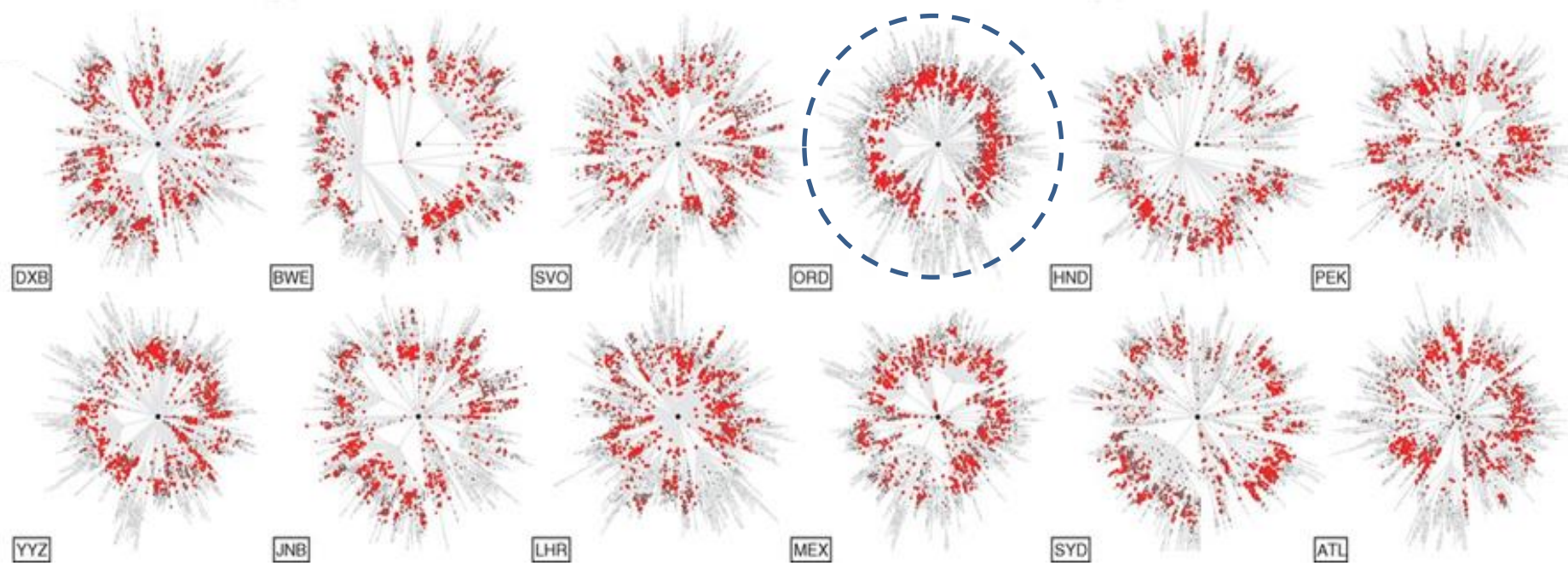
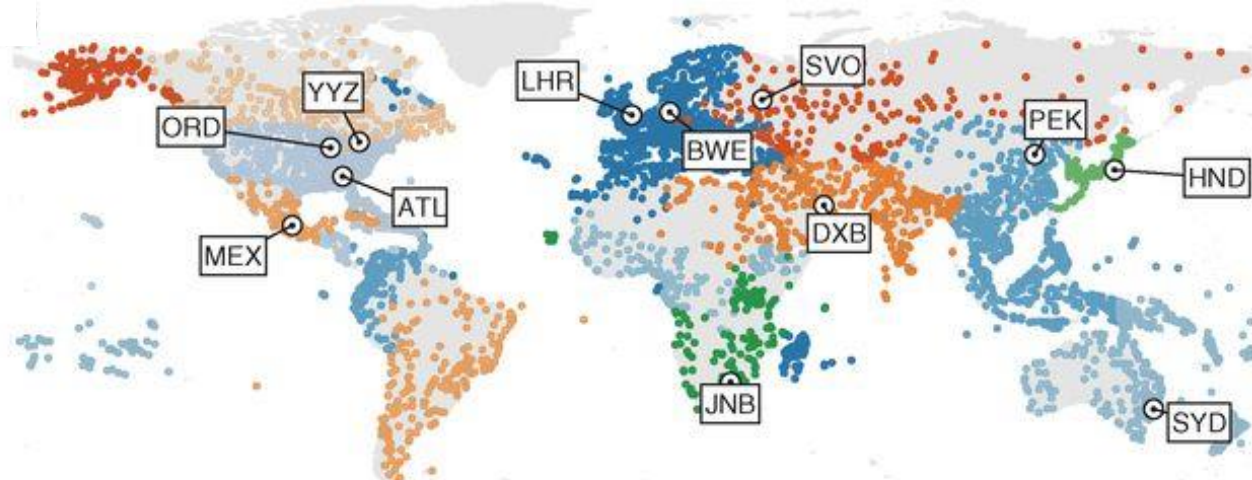
E SARS (2003)



Dirk Brockmann, Dirk Helbing

The Hidden Geometry of Complex, Network-Driven Contagion Phenomena

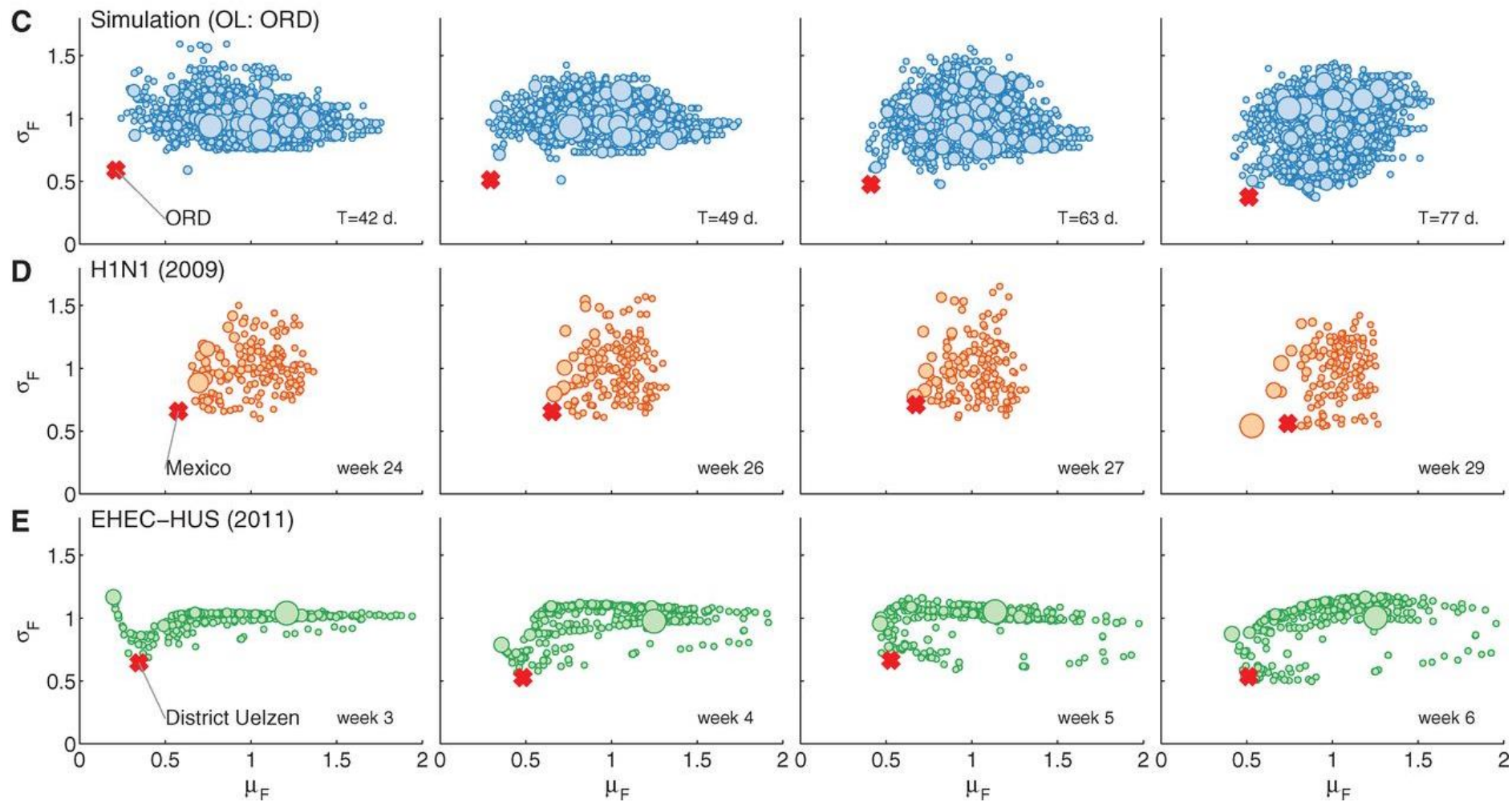
Science vol. 342:1337-1342 (2013)



Dirk Brockmann, Dirk Helbing

The Hidden Geometry of Complex, Network-Driven Contagion Phenomena

Science vol. 342:1337-1342 (2013)



Dirk Brockmann, Dirk Helbing

The Hidden Geometry of Complex, Network-Driven Contagion Phenomena

Science vol. 342:1337-1342 (2013)